

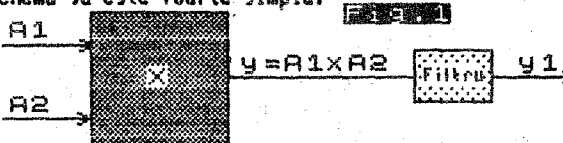
POFTITI IN BANCI
Aplicatiile multiplicatorului
 Ing. Ioan Rosca

0. Introducere

Scopul acestui articol este de a scoate in evidenta avantajele manierei moderne de realizare a aparaturii electronice, revolutia de stil pe care a adus-o utilizarea circuitelor integrate. In locul unui amalgam de fapte, tipuri si speculatii(din epoca de pionierat) se dispune acum de cteva principii generale de cteva structuri constructive. Folosite nuantat, acestea stau la baza unei mari varietati de aplicatii.

Un exemplu expresiv de astfel de "cheie universala" este multiplicatorul sincron, care realizeaza in receptoarele moderne aproape toate functiile de prelucrare a semnalului.

Schimba sa este foarte simpla.



Nu vom intra in detalii de constructie, deoarece multiplicatoarele cu care avem de a face sunt incorporate in circuite integrate.

Pot prezenta eventual interes cteva observatii:

- Realizarea unui multiplicator pune mari probleme in tehnologia discrete (imperecherea tranzistoarelor, simetrizarea perfecta a schemei, echilibrare termica, liniaritate). In tehnologia integratelor s-au putut satisface aceste cerinte pentru ca fazele tehnologice sunt unice pentru intreaga structura a circuitului.
- Ca orice model, cel prezentat in fig.1 este idealizat, fiind valabil numai pentru o anumita clasa de semnale de intrare. Practicianul care "ataca" multiplicatorul cu semnale care nu se inscriu in gama asigurata de producator, poate avea surpize. In general distorsiunile vor aparea la nivele mari si frecvenete inalte.

Vom presupune in continuare ca sunt satisfacute conditiile de valabilitate ale modelului din fig.1.

Deosemenea, vom presupune cunoscute notiunile elementare privind semnalul sinusoidal si prelucrarea lui. (vezi in acest sens articolul din cap."Initieri")

Fundamental va fi relatia trigonometrica :

$$A_1 \sin(B_1 t + C_1) \cdot A_2 \sin(B_2 t + C_2) = \\ = \frac{A_1 A_2}{2} [\cos[(B_1 - B_2)t + C_1 - C_2] - \cos[(B_1 + B_2)t + C_1 + C_2]] \quad (1)$$

si cazurile particulare :

$$\sin x \cdot \sin y = \frac{1}{2} [\cos(x-y) - \cos(x+y)] \quad (2')$$

$$\sin x \cdot \cos y = \frac{1}{2} [\cos(x+y) + \sin(x-y)] \quad (4'')$$

Reamintim ca (2) $\sin(x + \frac{\pi}{2}) = \cos x$; $\sin(x + \pi) = -\sin x$

Daca disponem de un multiplicator sincron putem, doar prin modificarea tipului celor doua semnale si sa producem semnale de iesire foarte interesante. In general se obtin combinatii din care componenta utila este sortata cu un filtru:

Realizam astfel :

1) modulator de amplitudine

$$A_1(t) = x(t) - \text{semnalul util}$$

$$A_2(t) = \sin \omega t \text{ purtatoarea de inalta frecventa}$$

iesirea : $y = x(t) \sin \omega t$ - semnal modulat in amplitudine (DBL), pe care filtrul il poate transforma in BLU sau BLR

2) demodulator de amplitudine

$$A_1(t) = x(t) \sin \omega t$$

$$A_2(t) = \sin \omega t$$

$y(t) = \frac{x(t)}{2}(1 - \cos 2\omega t) \quad (2)$ care prelucrat cu un filtru trece jos devine $y_1 = \frac{x(t)}{2} \quad (2')$

3) detector de nivel (pentru un semnal nemodulat in amplitudine)

$$A_1(t) = N \sin \omega t$$

$$A_2(t) = \sin \omega t$$

$$y(t) = \frac{N}{2}(1 - \cos 2\omega t) \quad (3)$$

de unde dupa FTJ: $y_1 = \frac{N}{2} \quad (3')$

4) detector de fază

$$A_1(t) = \sin \omega t$$

$$A_2(t) = \cos(\omega t + \varphi)$$

$$y(t) = \frac{1}{2} [\sin \varphi + \sin(2\omega t + \varphi)] \quad (4)$$

care devine dupa FTJ: $y_1 = \frac{1}{2} \sin \varphi = (\text{aprox.}) \frac{y}{2} \quad (4')$

5) mixer (translator de frecventa)

$$A_1(t) = x(t) \sin \omega_1 t$$

$$A_2(t) = \sin \omega_2 t$$

$$y(t) = \frac{x(t)}{2} [\cos(\omega_2 - \omega_1)t + \cos(\omega_2 + \omega_1)t] \quad (45)$$

de unde un filtru de banda reglat pe $\omega_3 = \omega_2 - \omega_1$ va extrage:

$$y(t) = \frac{x(t)}{2} \cos \omega_3 t$$

6) detector de fază si frecventa :

$$A_1(t) = \sin \omega_1 t$$

$$A_2(t) = \sin(\omega_2 t + \varphi_2)$$

$$y(t) = \frac{1}{2} [\cos((\omega_2 - \omega_1)t + \varphi_2) - \cos((\omega_2 + \omega_1)t + \varphi_2)] \quad (6)$$

$$\text{si dupa FTJ: } y_1(t) = \frac{1}{2} [\cos((\omega_2 - \omega_1)t + \varphi_2)] \quad (6'')$$

7) detector de fază si amplitudine

$$A_1(t) = N \sin(\omega_1 t + \varphi)$$

$$A_2(t) = \cos \omega_1 t$$

$$y(t) = \frac{N}{2} [\sin \varphi + \sin(2\omega_1 t + \varphi)] \quad (7)$$

$$\text{si dupa FTJ: } y_1(t) = \frac{N}{2} \sin \varphi \quad (7'')$$

8) detector de coincidență(pt. semnale nesinusoidale)

9) detector de frecventa - folosind transformarea modulatiei de frecventa in modulatie de fază, urmată de detectia fazei - vezi punctul 4

10) bucla PLL - asociind detectoarei de fază și frecvență - vezi punctul 6 - cu un circuit de controlare a oscilatorului care trebuie calat.

11) demodulator in quadratura - utilizand două demodulații de amplitudine - vezi punctul 1 - atacate pe o cale de semnalul modulat in quadratura și pe cealalta cale cu o oscilație in fază și respectiv la 90 grade fata de purtatoare :

$$A_1(t) = x_1(t) \sin \omega t + x_2(t) \cos \omega t$$

$$A_2(t) = \sin \omega t \quad A'_2(t) = \cos \omega t$$

$$y_1(t) = A_1 A'_2 = \frac{x_1(t)}{2} [1 - \cos 2\omega t] + \frac{x_2(t)}{2} \sin 2\omega t \quad (8)$$

$$\text{si dupa FTJ: } y'_1(t) = \frac{x_1(t)}{2} \quad (8'')$$

$$y_2(t) = A_1 A'_2 = \frac{x_1(t)}{2} \sin 2\omega t + \frac{x_2(t)}{2} (1 + \cos 2\omega t) \quad (9)$$

$$\text{si dupa FTJ: } y'_2(t) = \frac{y_1(t)}{2} \quad (9'')$$

S-ar putea ca formulele de mai sus sa va produca o anumita iritare. Atentie insa ! Ele sunt suficiente pentru intelegerarea unui numar impresionant de etaje.

Sistem pe deplin rasplatiti pentru efortul de a asimila o singura formula de trigonometrie (1), celelalte nefiind altceva decit particularizari. Astfel, daca analizam schema bloc a televizorului Cromatic (vezi fig.2) si a tunerului Electronica (vezi fig.3) remarcam prezenata a 19 (!) multipli-

toare (x) care fac prelucrările cheie ale semnalelor (pe lîngă amplificatoarele A și filtrele F și restul blocurilor oscilatoare 0, defazoare D, etaje diverse E). Pe figura am semnalat si tipul de aplicatie folosit in etajul respectiv.

Sper ca analiza figurilor face interesanta continuarea lecturii acestui articol, in care vor fi facute comentarii mai detaliate.

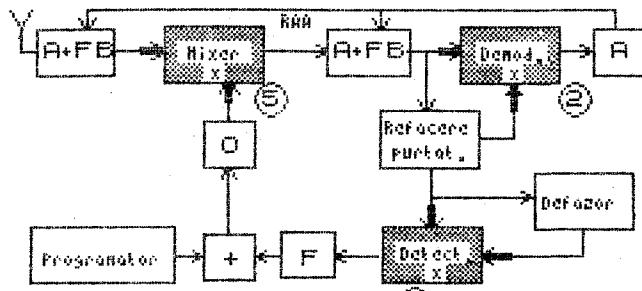
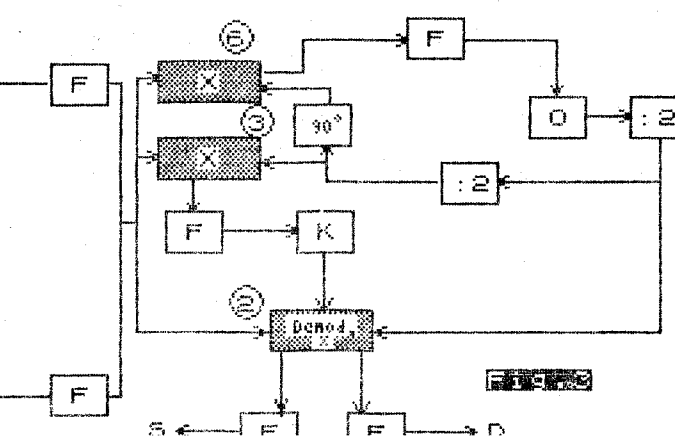
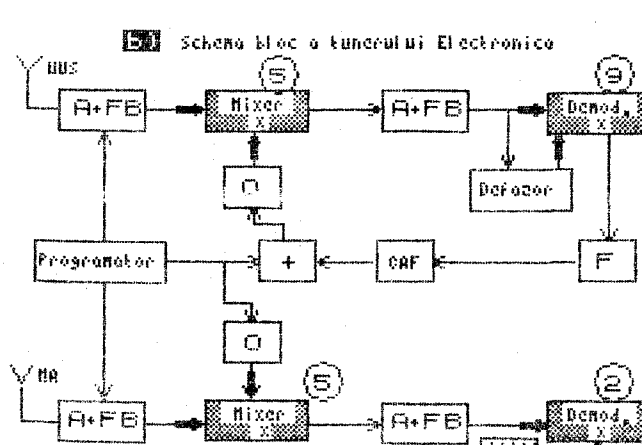
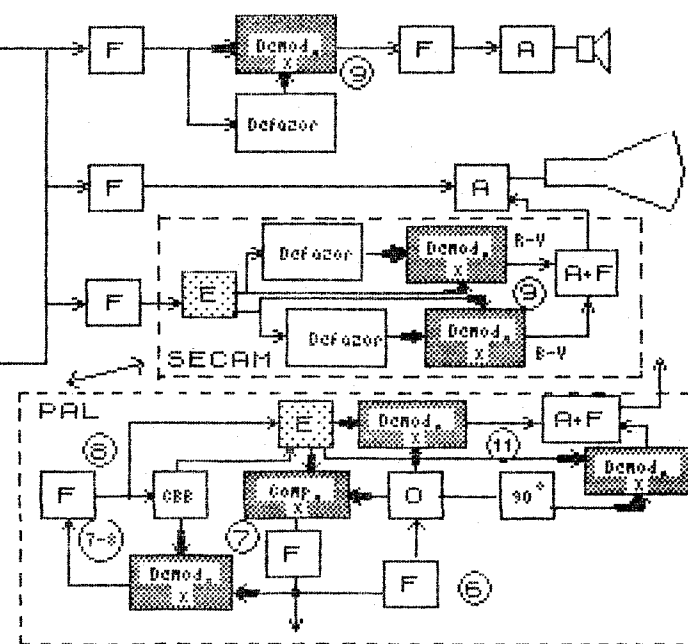


Fig.2
B) Schema bloc a TV Cromatic



I. Modulator in amplitudine

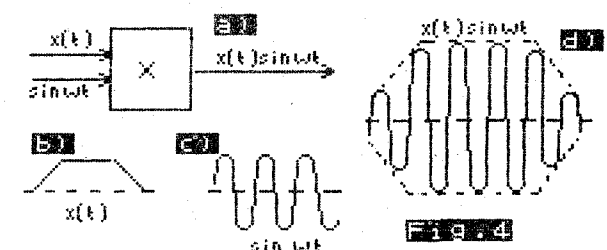


Fig.4

Acest tip de modulare este denumit (oarecum impropriu): "fara purtatoare". Este avantajos energetic si, atit timp cat semnalul x(t) are semn constant, semnalul MA poate fi demodulat cu ajutorul unui simplu detector de anvelopa.

Daca insa x(t) are schimbari de semn (cazul sunetului si al semnalelor diferență de culoare) semnalul MA nu mai poate fi demodulat corect cu un detector de anvelopa. In figura 5 este ilustrata distorsiunea care ar apare in acest caz (se obtine x(t) redresat):



Fig.5

Solutia este utilizarea unui demodulator sincron, care permite refacerea corecta a lui x(t) (vezi pt.2)

O alta solutie este translarea lui x(t) pentru a se obtine un semnal $x_1(t) = x(t) + k$, cu semn pozitiv, care se va preta la o demodulare de anvelopa (fig.6).

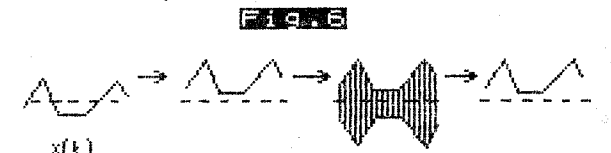


Fig.6

Pentru a se obtine acest efect se foloseste metoda modularii "cu purtatoare" (fig.7)

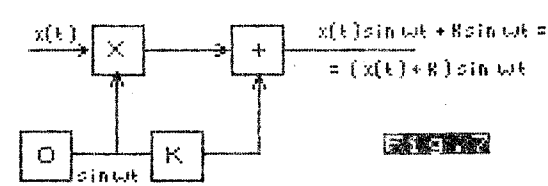


Fig.7

Modularea "in quadratura" constă într-o dublă modulare, urmată de însumarea rezultatelor conform schemei :

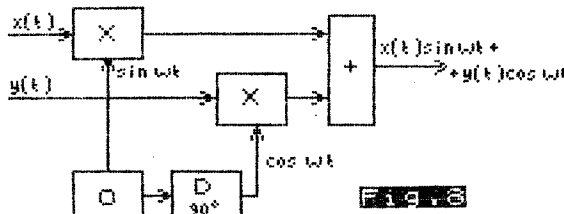


Fig. 8

SUBLINIEM importanța formulei trigonometrice :
 $(10) x(t)\sin \omega t + y(t)\cos \omega t = \sqrt{x(t)^2 + y(t)^2} \sin(\omega t + \varphi)$
 care ne indică faptul că modularea in quadratura este echivalentă cu o dublă modulare: de amplitudine și de fază, a acelasiui purtătoare. Asadar cele două informații vor ocupa, după modulare, aceeași gama spectrală ! Separarea lor va crea probleme speciale (vezi demodulatorul de quadratura și dispozitivul Bruch).

2. Demodulator de amplitudine

Schema și mecanismul său redată în fig.9:

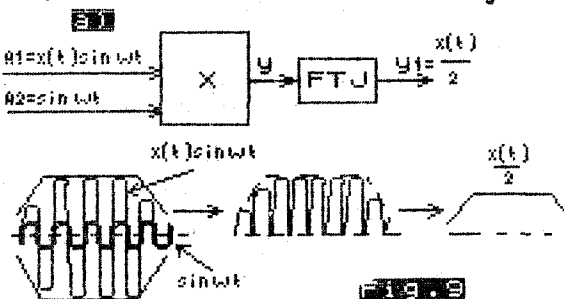


Fig. 9

Observații :

- 1) Semnalul de la ieșirea multiplicatorului conține, pe lângă semnalul util și un semnal cu frecvență dubla fata de purtătoare. Acesta este eliminat cu ajutorul filtrului care trece jos.
- 2) Pentru ca demodularea să aibă loc fără distorsiuni este absolut necesara realizarea sincronismului între sinusoida folosită la demodulare și cea pe care se poate obține la ieșirea multiplicatorului.

Să presupunem că există o defazare , asadar $A = \sin(\omega t + \varphi)$; $A_1 = x(t) \sin \omega t$

Se obține la ieșirea multiplicatorului :

$$y(t) = \frac{x(t)}{2} [\cos \varphi + \cos(2\omega t + \varphi)] \quad (14)$$

$$\text{și după FTJ: } y_1(t) = \frac{x(t)}{2} \cos \varphi \quad (14')$$

Relația (11') sugerează cîteva idei interesante:

- semnalul de ieșire va fi tot mai atenuat pe măsură creșterii defazajului spre 90grd. $= \frac{\pi}{2}$
 $(\cos \varphi = 1; \cos \frac{\pi}{2} = 0)$

- ieșirea va deveni chiar nula pentru $\varphi = \frac{\pi}{2}$ adică în cazul atacului "in quadratura", cu $\cos \omega t$. Aceasta reprezintă o remarcă esențială pentru înțelegerea demodulatorului de quadratura !

- pentru variații ale lui φ , ieșirea va varia și ea. Putem utiliza acest fapt pentru a transforma schema într-un detector de fază ! Pentru ca tensiunea de ieșire să fie realmente proporțională cu fază, trebuie să facem un defazaj suplimentar de (quadratura) :

$$A_2 = \cos(\omega t + \varphi) = \sin(\omega t + \varphi + \frac{\pi}{2}) \quad (12)$$

obținând: $y_2(t) = \frac{x(t)}{2} \sin \varphi = (\text{aprox.}) \frac{x(t)}{2} \varphi$

- dacă în (11') : $x(t)$ este constant, se obține un detector de nivel și în același timp de fază.

3) Cerința de sincronizare reprezintă principalul punct delicat al acestui tip de demodulator. Sunt folosite în acest scop "circuite de refacere a purtătoarei" astfel încât schema completă a demodulatorului devine :

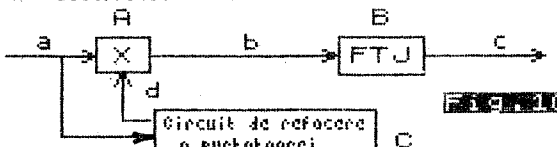


Fig. 10

Refacerea purtătoarei în perfect sincronism nu poate fi făcută (în mod evident), decât utilizând o informație din semnalul receptionat.

Variante :

- oscilator local, calat cu nuclea PLL. Informația de referință pentru buclă este transmisă astfel, încât să poată fi separată în timp (ex: burstul în PAL pe intervalul de întoarcere) sau în frecvență (ex: semnalul pilot pe 19KHz pentru emisiunile stereo)
- purtătoarea refacută prin eliminarea modulară (amplificare, limitare și filtrare) - folosită la demodulatorul de FI-TV. Figura 11 surprinde principiul acestui tip de refacere :

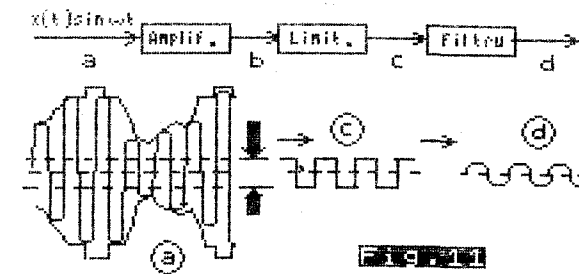


Fig. 11

4) Demodulatorul de quadratura reușește separarea celor două informații pe baza observației 2. Schema din fig.12 surprinde modul ingenios în care ea este folosită (vezi calculele de la capitolul 0 - relațiiile 8 și 9) :

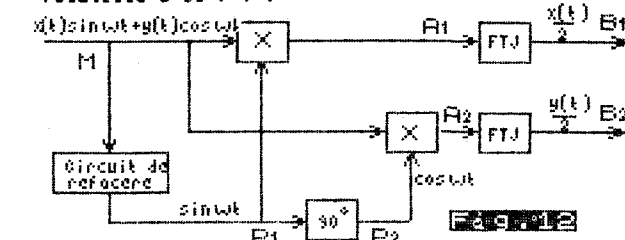


Fig. 12

Asadar fiecare din cele două demodulatori este sensibil la purtătoarea în fază, livrind (după filtrare) tensiunea nula pentru semnalul modulat în quadratura.

Spectaculos...dar foarte delicat ! De această data, efectul unei eventuale erori de fază este mai grav decât cel redat în formula (11'). El poate fi dedus urmărind calculele : (la apariția defazajului) $A_1 = x(t) \sin \omega t \cdot \sin(\omega t + \varphi) + y(t) \cos \omega t \cdot \sin(\omega t + \varphi) = \frac{x(t)}{2} [\cos \varphi - \cos(2\omega t + \varphi)] + \frac{y(t)}{2} [\sin \varphi + \sin(2\omega t + \varphi)]$

Deci: $B_1 = \frac{x(t)}{2} \cos \varphi + \frac{y(t)}{2} \sin \varphi$

și la fel se obține: $B_2 = \frac{x(t)}{2} \cos \varphi - \frac{y(t)}{2} \sin \varphi$

Asadar, pe lângă atenuarea în raportul $\cos \varphi$ a semnalelor utile, apare un fenomen și mai neplăcut : amestecul informațiilor de pe cele două canale !(diapozitive). Pretențiiile de sincronism vor fi deci mai mari

Aplicatia 1 : Demodulatorul din FICC - TV

Are schema din fig. 10 și principiul de refacere a purtătoarei prezentat în fig.11.

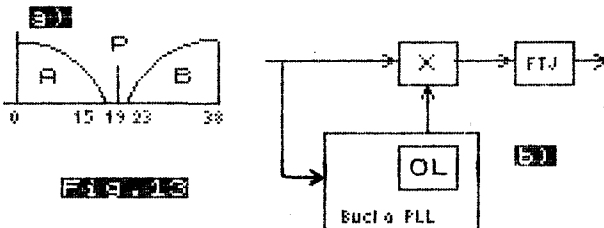
Purtătoarea are frecvență de 38 MHz (TVAN, Elcrom) sau 38,9 MHz (Telecolor, Cromatic) conform standardului OIRT, respectiv CCIR.

Semnalul videocomplex $x(t)$ este prelucrat de un filtru de frecventa intermediara cu caracteristica speciala (FSC) care, printre altele, elibera distorsiunile pe care le-ar produce in lipsa lui, demodularea semnalului receptionat - cu benzi laterale asimetrice.

Exercitiu Folosind schema bloc : din fig.10, identificati blocurile A,B,C si punctele a,b,c,d; pe schema TV SCI, TV Telecolor, TV Cromatic si TV Elcrom Observatie : Acelasi principiu este folosit si pentru demodularea semnalului de frecventa intermediara pe MA-la Tuner-ul Electronica (in interiorul CI TDA1046)

Aplicatia 2 : Demodulatorul stereo (Tuner, RCS002)

In stereofonie, cele doua canale S si D formeaza semnalele $A=S+D$ si $B=S-D$, care se transmit (pentru compatibilitate cu varianta monofonica) impreuna: A in banda de baza (0-15 KHz), B prin modulare BLU cu o purtatoare de 38 MHz. In plus este transmis un semnal pilot de 19 KHz, pentru sincronizare.



Decodorul stereo trebuie asadar sa demoduleze informatia canalului B, cu ajutorul unei purtatoare de 38 KHz, sincronizata cu ajutorul pilotului. Refacerea purtatoarei se face de aceasta data cu ajutorul unui oscilator local, calat de o bucla PLL (compara cu fig.11).

In schemele RCS002 si Tuner, circuitul descris este incorporat in CI BA 758 (decodorul stereo).

Aplicatia 3 Demodulatorul de quadratura ("pre-PAL")

Revenim la schema din fig.12 precizind ca :

$x(t)$ - este semnalul de culoare (R-Y) ponderat

$y(t)$ - este semnalul de culoare (B-Y) ponderat

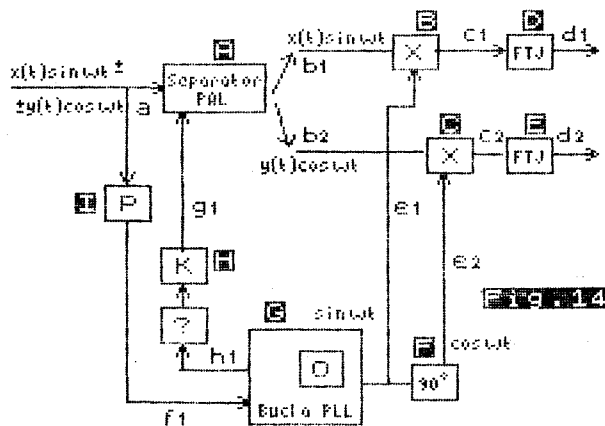
W_p - frecventa purtatoarei de crominanta

Conform observatiei 4, se impuneo grija deosebita pentru refacerea purtatoarei, orice defazaj producind diafotie, si implicit perturbarea nuantelor.

Si in acest caz se foloseste un oscilator local pe frecventa W , de buna calitate. Nu mai disponem insa de posibilitatea separarii "spectrale" a semnalului de sincronizare ("burstului") ci se utilizeaza o poarta in timp (5 din cele 12 microsec. ale perioadei de intoarcere liniii contin salva de sincronizare).

In ciuda folosirii buclei PLL pentru refacerea purtatoarei, nu au putut fi evitate defazajele parazite introduse chiar pe calea directa (distorsiuni de faza diferențiale).

Asadar, desi spectaculos, principiul demodulararii in quadratura nu este capabil, fara anumite perfectionari, sa asigure eliminarea efectelor defazajelor parazite. Perfectionarea adusa in sistemul PAL este folosirea unui dispozitiv de separare a informatiilor de culoare inaintea atacarii demodulatoarelor ("furca PAL" - fig.14)



Dispozitivul separator este realizat cu ajutorul unei linii de intirziere. Schema demodulatorului revine la cazul banal, virtutile "demodulatorul de quadratura" nemaifacindu-se simtite decit la aparitia unor erori.

Separarea burst-ului este facuta cu ajutorul unei porti. Se realizeaza astfel calarea O.L. Functionarea corecta a separatorului de cai pretinde insa o comutare suplimentara, de la linie, a semnalului semnalului $y(t)$.

Pentru a anihila aceasta comutare, este folosit comutatorul K, care trebuie la rindul lui sincronizat

in faza cu informatica liniei receptionate. Pentru a se da posibilitatea acestui sincronizare (identificare PAL) burstul este si el transmis cu faza alternanta, de la linie la linie. (+135grd. pentru liniile +y si -135 grd. pentru cele cu -y).

Exercitiu : Pe schema decodorului TV Telecolor, identificati blocurile si punctele din figura 14.

3. Detector de faza si de coincidență

Am remarcat deja sensibilitatea multiplicatorului la defazajul semnalelor de intrare si modul cum acest lucru poate fi utilizat pentru realizarea detectoarelor de faza :



Fig. 15

Reamintim cteva valori :

φ	0	$\pi/4$	$\pi/2$	$3\pi/4$	π	$5\pi/4$	$3\pi/2$	$7\pi/4$	2π
0	0	45	90	135	180	225	270	315	360
sin	0	0,71	1	0,71	0	-0,71	-1	-0,71	0
cos	1	0,71	0	-0,71	-1	-0,71	0	0,71	1

Remarcati ca detectoarul livreaza la iesire o tensiune proportionala cu defazajul dintre semnalul in quadratura cu cel de referinta (A2) si cel din intrarea A1 si aceasta numai pentru defazaje mici, care permit aproximarea $\sin \varphi = \varphi$

Daca semnalele de atac nu sint sinusoidale, multiplicatorul poate lucra analog, furnizind o tensiune "de coincidență" adica dependenta de pozitia in timp dintre cele doua intrari.

Aplicatia 4 Identificare in PAL

Revenim la problema sincronizarii comutatorului din fig.14 cu ajutorul alternarii fazelor burstului.

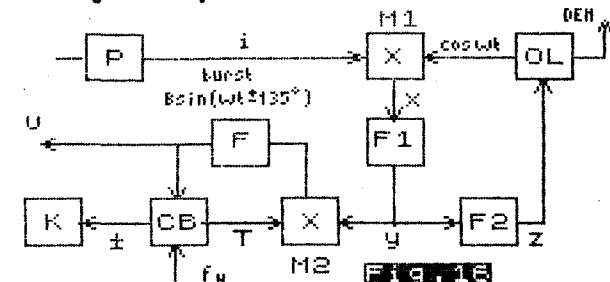


Fig. 16

Semnalul PAL receptionat este:

$$\begin{aligned} \text{linia } n &: x(t) \sin \omega t + y(t) \cos \omega t + B \sin(\omega t + 135^\circ) \\ \text{linia } n+1 &: x(t) \sin \omega t + y(t) \cos \omega t + B \sin(\omega t - 135^\circ) \end{aligned}$$

Vom presupune realizata sincronizarea oscilatorului PAL. In aceste conditii multiplicatorul sincron M1 care echipeaza bucla PLL lucreaza ca detector de faza pe linia n: $x = \frac{B}{2} [\sin 135^\circ + \sin(2\omega t + 135^\circ)]$

$$\text{deci } Y_n = \frac{B}{2} \frac{\sqrt{2}}{2} X = \frac{B}{2} [\sin(-135^\circ) + \sin(2\omega t + 135^\circ)]$$

$$\text{deci } Y_{n+1} = -\frac{B}{2} \frac{\sqrt{2}}{2}$$

Asadar, trenul de impulsuri Y are aspectul a - fig.17

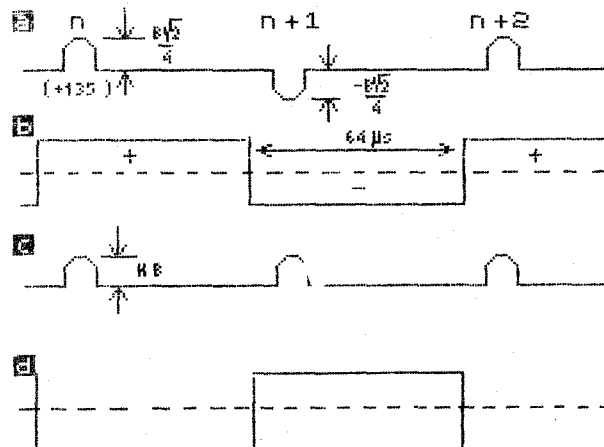


FIG. 17

Efecte polaritatea alternanta si nivelul dependent de cel al burstului.

Pentru comanda comutatorului K, din doua in doua linii, se foloseste un circuit bistabil sincronizat in frecventa cu ajutorul impulsurilor de sincro linii

In ceea ce priveste faza sa, exista ambele posibilitati: sa fie corecta (fig.17b) sau inversa celei necesare unei bune demodularari (fig.17d). Intra acum in joc detectoarea de coincidenca, realizata cu multiplicatorul M2. Multiplicand semnalele a si b el livreaza trenul de impulsuri pozitive c din care se obtine prin filtrare o tensiune pozitiva. Schema este astfel realizata, incit in acest caz nu este perturbata functionarea bistabilului (a fost detectat sincronismul).

Daca fazarea este gresita, multiplicindu-se

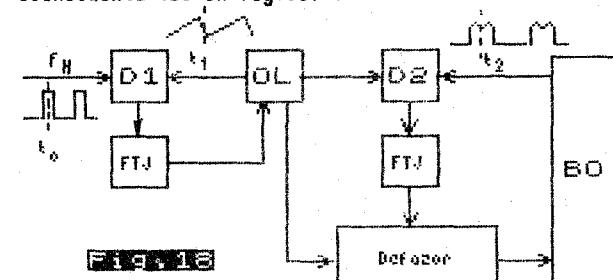
semnalele b) si d) sa obtine trenul de impulsuri din e) din care se formeaza prin filtrare o tensiune negativa. Aceasta la rindul ei va comanda stabilirea fazarii corecte a bistabilului.

Exercitiu : Identificati schema din fig.16 - pentru cazul concret al decodorului TV Cromatic

Aplicatia 5 Sincronizarea baleajului orizontal

Pentru a se realiza un baleaj orizontal corect, in concordanca cu emisiunea se utilizeaza un oscilator local, calat cu o bucla PLL, care foloseste ca referinta impulsul de sincro linii separat de restul semnalului receptionat.

La baza circuitului PLL sta un detectoare de coincidenca (D1 in fig.18) :



Desi bucla cu M1 reuseste sa asigure coincidenca momentelor to si t1, ea nu asigura automat si suprapunerea lui to peste t2 (adevaratul scop al etajului). Aceasta deoarece de la oscilator la bobinele de deflexie apar defazaje variabile.

Pentru suprapunerea lui t1 (si implicit to) peste t2, este folosit detectoare de coincidenca D2. Tensiunea livrata de acesta depinde de decalajul sesizat si actioneaza prin intermediul defazorului in sensul reducerii lui. Observatie: Bucurile de coincidenca D1 si D2 au o functionare mai complexa decat a unui simplu multiplicator, asa cum se vede in fig.19 :

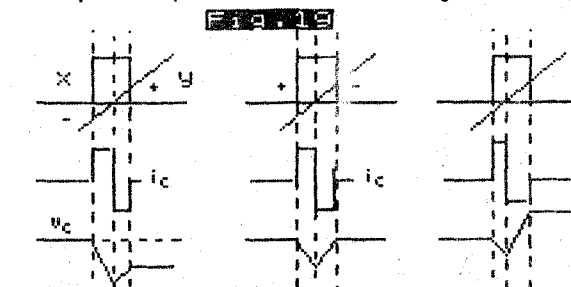


FIG. 19

Curentul generat de blocul detectoare are semnul egal cu produsul semnalelor comparate : x si y. El incarca un condensator exterior la o tensiune a carei valoare va depinde de decalajul intre x si y.

Am inclus totusi aceasta aplicatie - printre exemplele de multiplicare efectiva pentru a se sesiza asemanarile de principiu.

Aplicatia 6 Detectoare de faza in comutatie

Poate fi dificil pentru cineva obisnuit sa se adapteze aplicatoare lucrind in regim sinusoidal sa se rezolve legatura cu cazul semnalelor periodice nesinusoidale. In acest sens este bine sa ne reamintim ca un semnal periodic are o descompunere spectrala:

$$x(t) = A_0 + A_1 \sin(\omega t + \varphi_1) + A_2 \sin(2\omega t + \varphi_2) + \dots$$

(componenta continua + fundamentala + armonici)

Inmultind acest semnal cu un altul cu aceeasi perioada, deci cu un spectru analog:

$$y(t) = B_0 + B_1 \sin(\omega t + \varphi_1) + B_2 \sin(2\omega t + \varphi_2) + \dots$$

se vor obtine diverse combinatii de frecvenete.

Filtrul trece jos de la iesirea multiplicatorului va sorta insa din acest amalgam doar semnalele de foarte joasa frecventa, un rol preponderent jucindu-l in conditii normale combinatia:

$$A_1 \sin(\omega t + \varphi_1) B_1 \sin(\omega t + \varphi_2) \rightarrow \frac{A_1 B_1}{2} \cos(\varphi_1 - \varphi_2)$$

In astfel de cazuri lucrurile se vor petrece ca si cum comparatia s-ar face numai intre fundamentale.

Aceasta remarca ne permite sa intuim de exemplu de ce inlocuirea semnalului x1 cu x1' (in fig. 20):

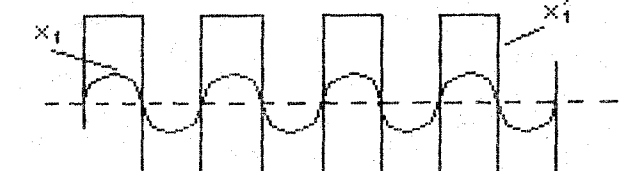


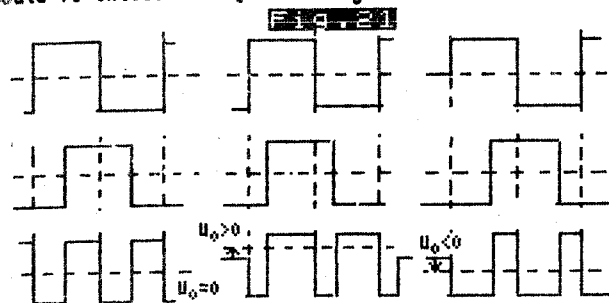
FIG. 20

la o intrare a unui multiplicator, folosit ca detectoare de faza sau de frecventa, nu va afecta functionarea corecta a etajului.

Multiplicatoarele din circuitele integrate lucreaza deseori in acest regim (vezi de ex. demodulatorul de sunet din TAA 661). Amplificarea pina la limitare a semnalului nu perturba demodularea corecta de faza. Din contra, ea permite eliminarea unor modificari parazite a amplitudinii, fata de care

multiplicatorul sincron nu este protejat.

Daca ambele semnale sint dreptunghiulare se ajunge la un "detector de faza in comutatie", care poate fi intelese cu ajutorul fig. 21



4. Detectorul de nivel

Ace schema :

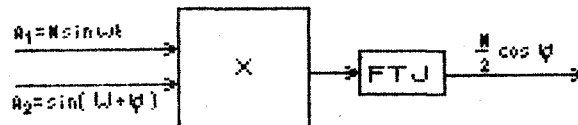


Fig. 22

profitind de sensibilitatea multiplicatorului fata de amplitudinea semnalelor de intrare.

Semnalul A1 este nemodulat in amplitudine, nivelul sau depinzind de conditiile de receptie (ex: burstul, semnal MF etc). A2 este obtinut cu ajutorul unui oscilator local, presupus sincronizat in frecventa.

Eficacitatea detectiei va fi cu atit mai buna, cu cit valoarea lui ψ este mai aproape de 0 (cos = 1)

Aplicatia 7 Detectorul de comanda a comutatorului stereo - mono.

In cazul receptionarii unui semnal stereo necorespunzator (sau mono), trebuie eliminata demodularea de tip stereo, care va produce distorsiuni (canalul B va fi cel afectat).

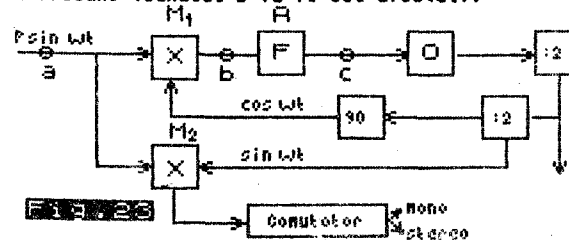


Fig. 23

Semnalul pilot de 19 KHz are amplitudinea dependenta de nivelul de receptie. El ataca multiplicatorul M1, impreuna cu semnalul de 19 KHz furnizat (prin divizare) de la oscilatorul local. In plus, semnalul generat intern este defazat cu 90°. Acest regim de lucru, optim pentru o detectie de faza este impropriu pentru o detectie de amplitudine.

De aceea detectorul de nivel, realizat cu multiplicatorul M2 lucreaza fazat, asigurindu-se eficacitatea maxima a detectiei !

Exercitiu : Gasiti blocul A si pinii ,b,c, din fig.23 pe schema tunerului.

Aplicatia 8 RAA culoare PAL

Revenim la fig.16, care explica formarea trenului de impulsuri din fig. 17 c (in cazul sincronismului si identificarii realizate).

Reamintim ca burstul are amplitudinea B constanta. Nivelul sau va reflecta asadar conditiile de receptie a colorii. Dupa prima multiplicare s-a obtinut (fig.17a) un tren de impulsuri proportionale cu B. La fel pentru multiplicarea cu M2 - iesirea c fiind asadar dependenta de nivelul burstului.

De aceea, tensiunea continua U, (fig.16) obtinuta prin filtrarea semnalului 17c urmareste nivelul de receptie a cuorii, putind fi utilizata pentru reglajul amplificarii cromantinei si pentru comanda de blocare a colorii (in cazul receptiilor necorespunzatoare).

Exercitiu : particularizati pe schema decodorului Elcrom

5 Detectorul de frecventa

Daca folosim un circuit care sa transforme deviatii de frecventa d in deviatii proportionale de faza, schema detectoarei de faza poate fi completata :

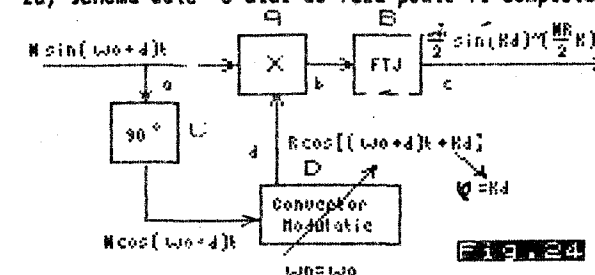


Fig. 24

astfel incit semnalul de iesire sa fie proportional cu sinusul defazajului, deci aproximativ cu defazajul, care la rindul sau depinde de deviatia de frecventa d.

Observatii :

1) Pentru ca detectorul de faza sa lucreze normal, trebuie folosita o defazare suplimentara de calea defazata

2) Tensiunea de iesire U este efectiv proportionala cu deviatia d a frecventei, numai daca transformarile $d \rightarrow \psi$ si $\psi \rightarrow u$ sunt liniare. Aceasta inseamna insa o zona limitata de varietate pentru d. In afara acestei plaje convertorul de modulatie nu mai lucreaza liniar si relatia $\sin =$ isi pierde valabilitatea.

3) Convertorul de modulatie se bazeaza de obicei pe caracteristica faza - frecventa a unui circuit RLC. De ex.circuitul RLC paralel atacat in curent, raspunde

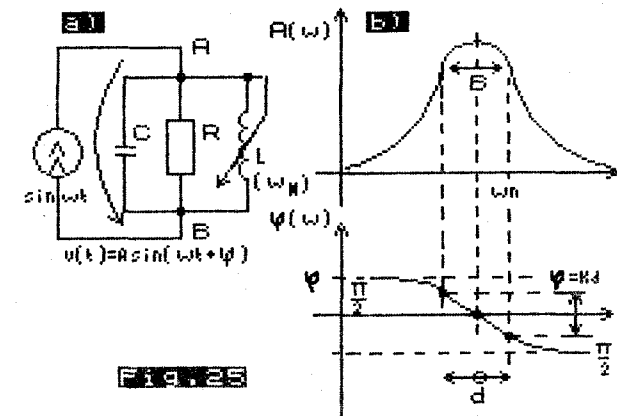


Fig. 25

Remarcati modul de varietate a caracteristicii faza - frecventa in jurul valorii de rezonanta : deviatii de frecventa vor produce deviatii proportionale de faza.

Este de dorit ca variația de amplitudine (vezi caract. de amplitudine) să fie în acest timp cât mai redusă, pentru că, asa cum se poate observa din fig.24, detectorul este sensibil și la aceste variații.

4) Desigur celula tip , care realizează în același timp conversia de modulatie și defazajul suplimentar

de 90 grd. are structura din figura 26 :

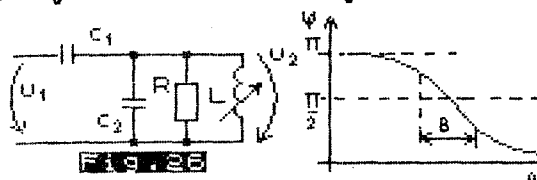


Fig. 26

5) Nu trebuie sa credem ca pe calea defazata semnalul si-a pierdut deviatia de frecventa (vezi fig.24). El are insa o deviatie de faza, suplimentara.

6) Pentru o functionare corecta a schemei, este foarte importanta realizarea coincidentei dintre frecventa de rezonanta a filtrului RLC si valoarea frecventei de referinta $\omega_0 = \omega_p$ (vezi fig. 27). In acest scop, sunt prevazute elemente de reglaj.

Aplicatia 9 Demodularea sunetului TV

Sunetul este transmis in televiziune prin modularea in frecventa a purtatoarei de 6,5 MHz (OIRT) sau 5,5 MHz (CCIR). Demodulatorul are schema din figura 24, utilizand un convertor de modulatie ca in fig. 26

Exercitiu : Particularizati elementele figurilor 24 si 26 pe schema modulelor de sunet la TV 5CI, Telecolor, Cromatic, Elcrom

Observatii 1) Pentru receptia bistandard se foloseste un filtru dublu selectiv ca celula convertoare de modulatie. El asigura o demodulare corecta pentru ambele zone de interes.

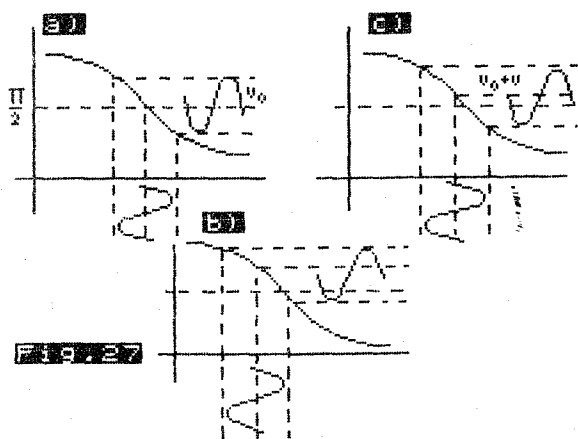


Fig. 27

2) O usoara dereglerare a frecventei de nul a filtrului RLC este permisa deoarece pe calea de sunet, componenta medie a semnalului nu are efecte. Totusi, daca diferența creste, demodulareaiese din zona liniara, producindu-se distorsiuni (vezi fig.27 -c)

3) Orice variație a amplitudinii semnalelor multiplificate se transmite la ieșirea detectorului. Din acest motiv se utilizeaza amplificarea prealabila a semnalului MF, pînă în limitare. Multiplicatorul lucreaza acum în regim de comutatie (vezi aplicatia 6)

Aplicatia 10 Demodularea cularii - SECAM

In SECAM, semnalele (R-Y) si (B-Y), după ce suferă anumite prelucrari, (devenind DR și DB) modulează în frecvența două purtătoare de valori diferite (4,2 și respectiv 4,4 MHz).

Pentru demodulare se foloseste un circuit cu aceeași schema ca la aplicatia 9 (fig.24 și 26). Ca exercitiu - puteti căuta elementele concrete pentru decodorul televizorului Telecolor.

Rămîn valabile și observațiile precedente cu o deosebire : situația unui dezacord al filtrului RLC este acum mult mai supărătoare (vezi fig.27 b), deoarece deriva componentei continue pe calea respectivă (rosu sau albastru) înseamnă o dereglerare a echilibrului care asigură fidelitatea redată nuantei. Se cere deci un reglaj exact (fig. 27a).

Aplicatia 10 CAF la TV Cromatic și Elcrom

Bucla de CAF are ca parte principala detectorul de frecvență. La TV Cromatic și Elcrom acesta este realizat pe principiul descris anterior.

Exercitiu : Gasiti corespondentele fig.24 - 26 cu schemele respective.

Si de aceasta data un reglaj necorespunzator al punctului de nul al detectorului este inacceptabil : el produce functionarea buclei de CAF în sensul dezacordării televizorului.

Aplicatia 11 Demodulatorul de frecvență și CAF -ul Tuner

Sensibilitatea detectorului la :

- deriva de frecvență $\omega_d = \omega_0$
- fluctuația frecvenței (semnalul util), surprinsă in fig.27 b este folosită ingenios : semnalul de ieșire are :
- o componentă continuă - utilă buclei de CAF

- o componentă alternativă - sunetul

Dezacordurile importante produc distorsionarea sunetului, dar în același timp o tensiune de corecție, pe care o poate folosi bucla de CAF pentru reacordare !

Exercitiu : Cautati corespondentele cu schema Tuner-ului

6. Mixarea. Superheterodina.

Atacind multiplicatorul cu semnalele :

$A1 = x(t) \sin \omega_p t$ (postul receptionat pe frecvența lui purtătoare)

$A2 = \sin \omega_0 t$ (furnizat de un oscilator local), obtinem

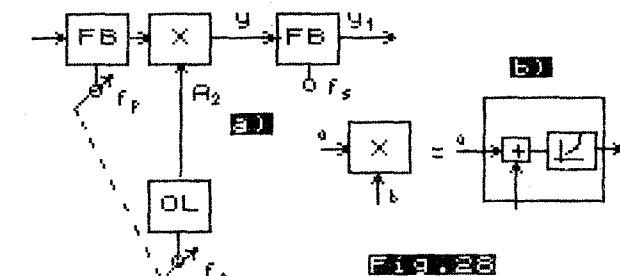


Fig. 28

$$y(t) = \frac{x(t)}{2} [\cos(\omega_0 - \omega_p)t - \cos(\omega_0 + \omega_p)t]$$

Se regleaza frecvența oscilatorului local astfel incit sa se asigure conditia de superheterodina :

$$\omega_0 - \omega_p = \omega_i$$

In același timp filtrul selectiv de la ieșirea multiplicatorului are frecvența centrală $f_s = f_i$. Obtinem: $y_i = \frac{x(t)}{2} \cos(\omega_0 - \omega_p)t = \frac{x(t)}{2} \cos \omega_i t$

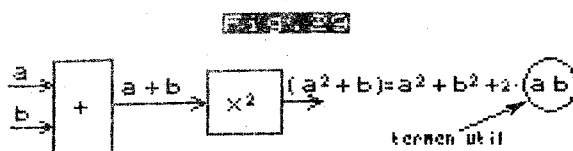
Asadar s-a reusit trecerea semnalului pe frecvența intermediara, de pe care va putea fi demodulat cu acuratețe.

Observatii

1) Mixerele din aparatura noastră nu folosesc un multiplicator propriu-zis. Schema lor este însă cea din fig.28, având la bază **multiplicarea semnalelor de la intrare și de la oscilator**, singura capabilă să efectueze translarea de frecvență dorită !

Realizarea multiplicării se face însă indirect, ca efect secundar, produs de suprapunerea a două semnale pe caracteristica unui element neliniar ("batai").

Fig. 29 surprinde esența acestui proces în cazul simplu al aplicării sumei semnalelor pe un element patratnic.



Daca semnalele insumate (de unde si expresia improprie "mixer aditiv") sunt aplicate intrarile unui etaj cu un tranzistor bipolar (sau dioda), neliniaritatea este mai complexa (exponentiala), semnalul de iesire avind pe lîngă componenta utilă (produsul) și multe altele, care pot perturba funcționarea.(fig.28b)

2) Eliminarea semnalelor perturbatoare, stabilizarea frecvenței OL, asigurarea unei bune alinieri între filtrul selectiv de intrare și cel care stabilește frecvența oscillatorului local vor face subiectul unui alt articol.

Aplikatia 12 (exercitiu) : Gasiti corespondentele dintre schema de principiu din fig.28 si schema electrica a superheterodinei TV si radio la :?V 3CI, Telecolor, Cromatic, RCS001, Tuner.

7. Bucla PLL

Putem folosi dependența iesirii multiplicatorului de poziția în timp dintre cele două semnale care îl atacă, într-o buclă de calare în fază și în frecvență

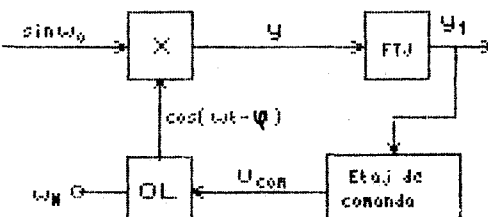


Fig. 29

$$\text{Avem: } y = \frac{1}{2} [\sin((\omega - \omega_0)t + \varphi) + \sin((\omega + \omega_0)t - \varphi)]$$

$$\text{si dupa FTV: } Y_1 = \frac{1}{2} \sin[(\omega - \omega_0)t + \varphi]$$

Filtrul trece jos va permite trecerea acestei tensiuni pulsatorii către etajul de comanda a frecvenței oscillatorului numai daca deviația se încadrează în gabaritul său. Dupa un anumit regim tran-

zitoriu, bucla PLL reușește să forțeze oscillatorul să lucreze pe frecvența ω_0 - a semnalului de sincronizare cu ajutorul unei tensiuni de comandă U_{com} . U_{com} - este obținută în această situație (după sincronizarea de frecvență) cu ajutorul unui decalaj rezidual de fază, tensiunea Y_1 devenind :

$$Y_1 = \frac{1}{2} \sin \varphi \quad \text{asadar :}$$

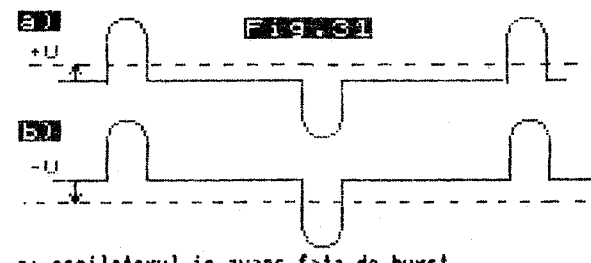
$U_{com} = K \cdot Y_1 = K \cdot \frac{1}{2} \sin \varphi$, deci tensiunea de comandă depinde de deviația finală de fază între intrările multiplicatorului. Atenție ! Putem fi tentați să considerăm ca, prin intervenția buclei PLL, defazajul final se anulează. Aceasta însă ar însemna anularea tensiunii care comandă corectarea frecvenței oscillatorului local. În lipsa corecției, acesta ar reveni pe frecvența liberă de oscilație. Numai dacă ω_n (frecvența liberă) este foarte aproape de ω_0 , putem presupune că PLL-ul realizează o sincronizare perfectă de fază și frecvență. În schimb la decalaje mari $\omega_n - \omega_0$ bucla nu va mai lucra corect. Se ajunge astfel la noțiunea de domeniu de prindere și de menținere, care, împreună cu alte aspecte de rafinament (eficacitate, protecție la perturbații) fac obiectul unor alte articole ("Trucuri sub reflector", "Masurari pe bucla PLL", "Rationalamente în bucla").

Aplikatia 13 Sincronizarea oscillatorului PAL

Am descris (v.fig.14 și 16) importanța calării corecte a oscillatorului PAL.

Revenim la schema din fig.16 și la considerațiile din aplicatia 4, presupunând de aceasta data existența unui nesincronism între burst și oscillator.

Prin intervenția buclei PLL, se corectează această deviație, ramânind în final numai una de fază. La iesirea filtrului F1 semnalul nu mai are forma din fig.17a ci se prezintă ca în fig.31



a: oscillatorul în avans fata de burst

b: oscillatorul în întârzire

Rolul filtrului F2 este de a selecta doar valoarea medie z a semnalului y , mai ridicată sau mai coborâtă față de valoarea de referință, funcție de relația de fază sesizată. Aceasta tensiune calează oscillatorul.

Exercitiu : Aplicati cele de mai sus pe schema decodorului Telecolor

Aplikatia 14 PLL la decodorul stereo

Revenind la figura 23 mai putem preciza că :

- oscillatorul local lucrează pe frecvența de 76 KHz
- cu ajutorul unui divizor se obține semnalul de 38 KHz necesar demodularii canalului B
- o nouă divizare furnizează semnalul de 19 KHz (în relație de fază cu oscillatorul) care atacă, împreună cu semnalul pilot, multiplicatorul care sta la baza buclei PLL.

Să în acest caz se dispune de o posibilitate de reglare exterioară a frecvenței libere pe care oscilează O.L. cu scopul de a usura "prinderea" buclei, adică intrarea în sincronizare.

Aplikatia 15 (exercitiu) - B.O.

Revedeti schema din fig.18 pentru a analiza funcționarea buclei PLL realizată cu D1.

Lamuriti sensul noțiunilor "domeniu de prindere" "domeniu de menținere" ; "eficacitate" ; "regim tranzistoriu" ; "efect de volant" pentru bucla PLL care echipă etajul sincroprocesor și cautați elementele care pot influenta acesti parametri la TV Cromatic.

Incheiere

Am facut o prezentare sumară a schemelor bloc și a aplicațiilor, deoarece am dorit să scot în evidență unitatea de principiu, legăturile care se pot stabili între situații aparent diferite.

Deseori un efect supraposat într-un anumit context este punctul de pornire pentru o altă aplicație.

Multiplicatorul sincron da posibilitatea unor realizări complexe care se obțin printr-o subtilă metodologie de combinație. Rezultatul este un univers al schemelor bine structurat, spectacol plin de rafinament și de rigoare !
